



# Dinâmica I 15/04/2021 a 30/05/2021

## Camada Limite Planetária

Paulo Kubota

data	Tópicos
15/04/2021	PBL
20/04/2021	PBL
22/04/2021	PBL
27/04/2021	QG Vorticity. eq.
29/04/2021	QG Vorticity. eq.
04/05/2021	QG Vorticity. eq.
06/05/2021	Geop. Tend. eq.
11/05/2021	Geop. Tend. eq.
13/05/2021	Geop. Tend. eq.
18/05/2021	Omega and Vetor Q
20/05/2021	Omega and Vetor Q
25/05/2021	Omega and Vetor Q
27/05/2021	Avaliação 1
01/06/2021	Avaliação 2



# Dinâmica I 15/04/2021 a 30/05/2021

## Camada Limite Planetária

---

- ***Coeficiente de Difusão;***



# Dinâmica I 15/04/2021 a 30/05/2021

## Camada Limite Planetária

### 5.2 Energia Cinética Turbulenta

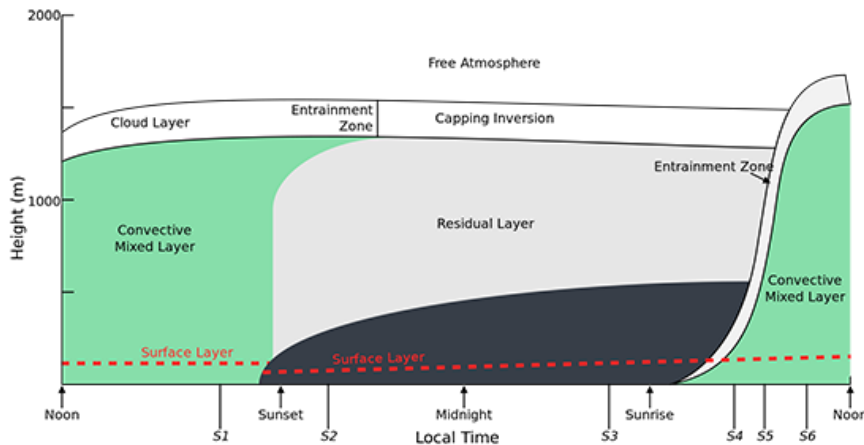
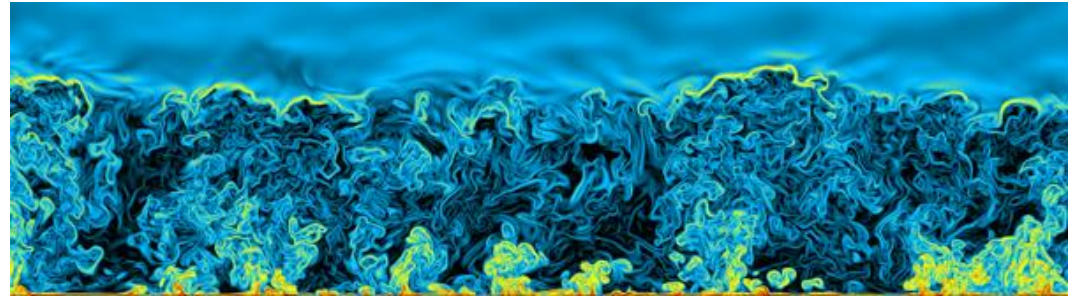
### 5.3 Equações de momentum da camada limite Planetária

$$\frac{\partial(\bar{u}_i)}{\partial t} + (\bar{u}_j) \frac{\partial(\bar{u}_i)}{\partial x_j} = - \frac{\partial(\overline{u_j' u_i'})}{\partial x_j} - \frac{1}{\rho_0} \frac{\partial(\bar{P})}{\partial x_i} - g \frac{\bar{\rho}}{\rho_0} \delta_{i3} - 2\Omega \varepsilon_{ijk} \eta_j (\bar{u}_k) + \nu \frac{\partial^2(\bar{u}_i)}{\partial x_j^2}$$

$$\begin{aligned} & \frac{\partial(\overline{u_i' u_k'})}{\partial t} + (\bar{u}_j) \frac{\partial(\overline{u_i' u_k'})}{\partial x_j} \\ &= - \overline{(u_j' u_k')} \frac{\partial(\bar{u}_i)}{\partial x_j} - g \frac{\overline{\rho' u_k'}}{\rho_0} \delta_{i3} - 2\Omega \varepsilon_{ijk} \eta_j \overline{(u_k' u_k')} - \frac{\partial(\overline{u_j' u_i' u_k'})}{\partial x_j} - \frac{1}{\rho_0} \frac{\partial(\overline{P' u_k'})}{\partial x_i} + \nu \frac{\partial^2(\overline{u_i' u_k'})}{\partial x_j^2} \end{aligned}$$

$$\frac{\partial \bar{e}}{\partial t} + (\bar{u}_j) \frac{\partial \bar{e}}{\partial x_j} = - \overline{(u_j' u_i')} \frac{\partial(\bar{u}_i)}{\partial x_j} - g \frac{\overline{u_i' \rho'}}{\rho_0} \delta_{i3} - \frac{\partial(\overline{e u_j'})}{\partial x_j} - \frac{1}{\rho_0} \frac{\partial(\overline{P' u_i'})}{\partial x_i} - \epsilon$$

- **A Camada limite Planetaria**



**Diurnal evolution of the atmospheric boundary layer. The black region is the stable (nocturnal) boundary layer. Time markers S1–S6 are used in lesson 11.3. After R. B. Stull's *An Introduction to Boundary Layer Meteorology* (1988).**

**Credit: NikNaks (Own work, based on [1]) [CC BY-SA 3.0], via Wikimedia Common**



### 5.3 Equações de momentum da camada limite Planetária

**Para o caso especial de turbulência horizontalmente homogênea, a camada viscosa, a viscosidade molecular e o termo da divergência horizontal do fluxo de momentum turbulento podem ser desprezados.**

$$\frac{\bar{D}\bar{u}}{Dt} = -\frac{1}{\rho_0} \frac{\partial \bar{P}}{\partial x} + f\bar{v} - \frac{\partial \overline{u'w'}}{\partial z}$$

$$\frac{\bar{D}\bar{v}}{Dt} = -\frac{1}{\rho_0} \frac{\partial \bar{P}}{\partial y} - f\bar{u} - \frac{\partial \overline{v'w'}}{\partial z}$$



# Dinâmica I 15/04/2021 a 30/05/2021

## Camada Limite Planetária

### 5.3 Equações de momentum da camada limite Planetária

$$\frac{D\bar{u}}{Dt} = -\frac{1}{\rho_0} \frac{\partial \bar{P}}{\partial x} + f\bar{v} - \frac{\partial \overline{u'w'}}{\partial z}$$

$$\frac{D\bar{v}}{Dt} = -\frac{1}{\rho_0} \frac{\partial \bar{P}}{\partial y} - f\bar{u} - \frac{\partial \overline{v'w'}}{\partial z}$$

**Para movimentos em escala sinótica em media latitudes:**

**O (termo de aceleração inercial, Porque?) pode ser desprezado comparando ao termo da força de Coriolis e gradiente de pressão.**

**Fora da camada limite a aproximação resultante é simplificada com o balanço geostrófico.**

**Na camada limite os termos inerciais são até pequenos comparados a força de Coriolis e gradiente de pressão mas o termo de fluxo turbulento deve ser incluído.**

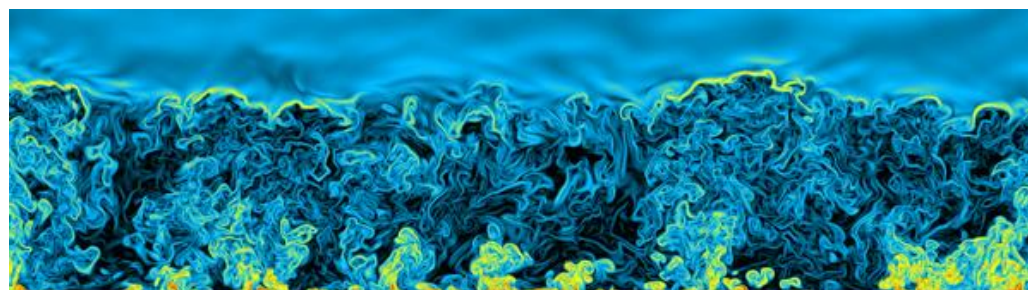
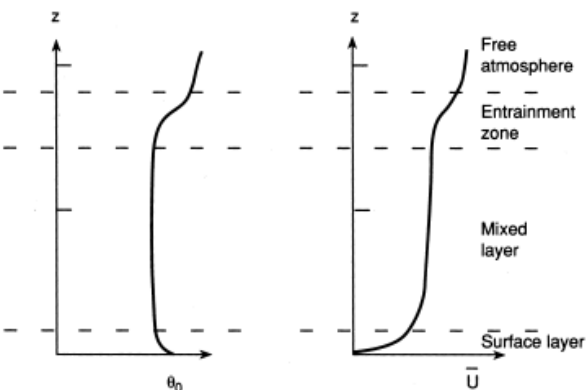
$$0 = -f\bar{v}_g + f\bar{v} - \frac{\partial \overline{u'w'}}{\partial z}$$

$$0 = f\bar{u}_g - f\bar{u} - \frac{\partial \overline{v'w'}}{\partial z}$$

### 5.3.1 Camada Limite bem Misturada

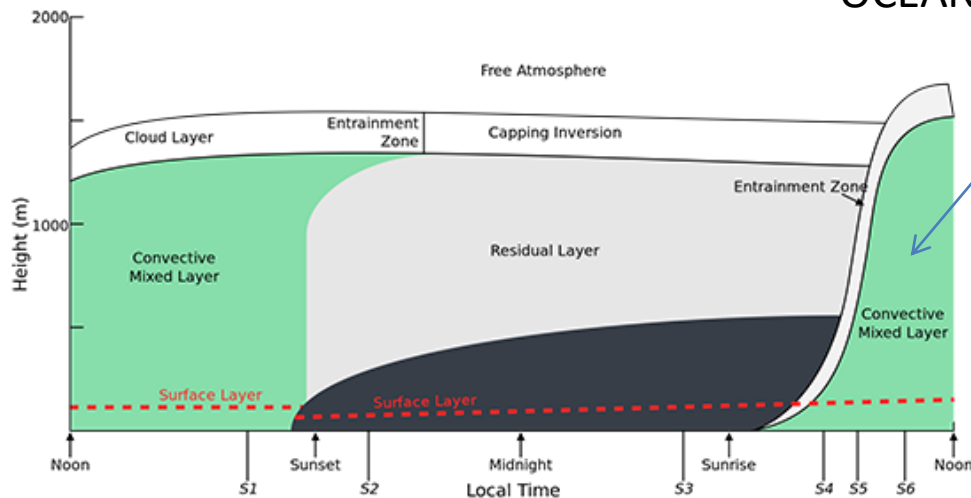
Atmosfera livre (camada estável)

Camada limite convectiva (camada instável)



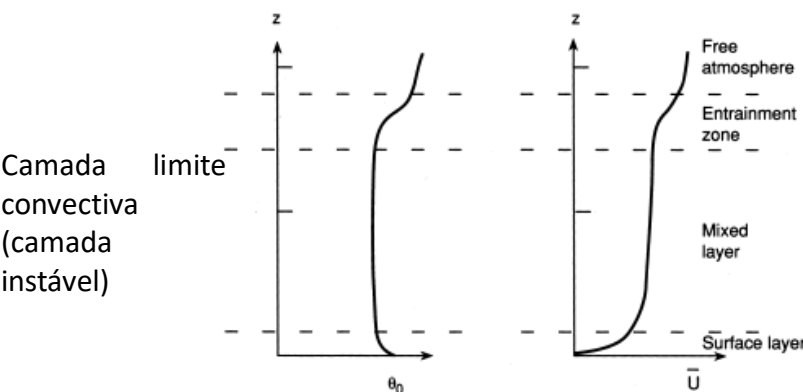
**Fig. 5.2** Mean potential temperature,  $\theta_0$ , and mean zonal wind,  $U$ , profiles in a well-mixed boundary layer. Adapted from Stull (1988).

OCEANOS X CONTINENTES



### 5.3.1 Camada Limite bem Misturada

Atmosfera livre (camada estável)



$\theta_0$  e  $\bar{u}$  tem pouca dependência de  $z$  na Camada de Mistura

Fig. 5.2 Mean potential temperature,  $\theta_0$ , and mean zonal wind,  $U$ , profiles in a well-mixed boundary layer. Adapted from Stull (1988).

**Podemos tratar a camada como um SLAB:**

- o perfil de  $\theta_0$  e  $\bar{u}$  são constante com a altura
- os fluxo turbulentos  $(\overline{u'w'})_s$  variam linearmente com a altura.
- A turbulência desaparece no topo da camada limite  $(\overline{u'w'})_s = 0$





**Neste caso : O fluxo de momentum pode ser substituída pela formula aerodinâmica global**

$$(\overline{u'w'})_s = -C_d |\vec{V}| \bar{u}$$

$$(\overline{v'w'})_s = -C_d |\vec{V}| \bar{v}$$

Onde  $C_d$  é o coeficiente de arrasto adimensional, para o oceano  $C_d = 1.5e - 3$  mas é varias vezes maior para uma superfície rugosa .

As aproximações da equações da CLP podem ser integrada da superfície ao topo da CLP com  $z=h$

$$f(\bar{v} - \bar{v}_g) = -\frac{\partial \overline{u'w'}}{\partial z}$$

$$-f(\bar{u} - \bar{u}_g) = -\frac{\partial \overline{v'w'}}{\partial z}$$

$$f\left(\int_0^h \bar{v}(z)dz - \int_0^h \bar{v}_g(z)dz\right) = -\int_0^h \frac{\partial \overline{u'w'}}{\partial z} dz$$

$$f\left((\bar{v}(h) - \bar{v}(0))(\bar{h} - 0) - (\bar{v}_g(h) - \bar{v}_g(0))(\bar{h} - 0)\right) = -\left((\overline{u'w'})_h - (\overline{u'w'})_s\right)$$

$$f\left(\bar{v}(h) - \bar{v}_g(h)\right) = \frac{(\overline{u'w'})_s}{\bar{h}}$$



**Neste caso : O fluxo de momentum pode ser substituída pela formula aerodinâmica global**

$$(\overline{u'w'})_s = -C_d |\vec{V}| \bar{u}$$

$$(\overline{v'w'})_s = -C_d |\vec{V}| \bar{v}$$

$$f(\bar{v} - \bar{v}_g) = -\frac{\partial \overline{u'w'}}{\partial z}$$

$$-f(\bar{u} - \bar{u}_g) = -\frac{\partial \overline{v'w'}}{\partial z}$$

$$f(\bar{v}(h) - \bar{v}_g(h)) = \frac{(\overline{u'w'})_s}{h}$$

$$-f(\bar{u}(h) - \bar{u}_g(h)) = \frac{(\overline{v'w'})_s}{h}$$

$$f(\bar{v}(h) - \bar{v}_g(h)) = \frac{-C_d |\vec{V}| \bar{u}}{h}$$

$$f(\bar{u}(h) - \bar{u}_g(h)) = \frac{C_d |\vec{V}| \bar{v}}{h}$$

### 5.3.1 Camada Limite bem Misturada

**Neste caso** : O fluxo de momentum pode ser substituída pela formula aerodinâmica global

$$f \left( \bar{v}(h) - \bar{v}_g(h) \right) = \frac{-C_d |\vec{V}| \bar{u}}{h}$$

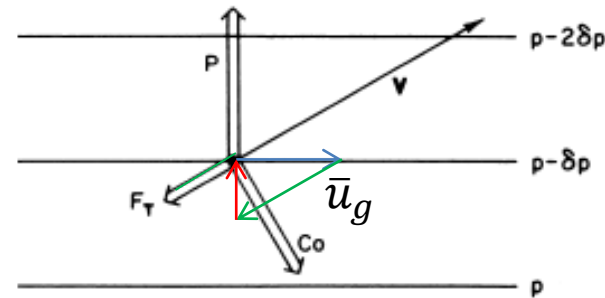
$$\bar{v}_g(h) = 0$$

$$\bar{v}(h) = -\kappa_s |\vec{V}| \bar{u}$$

$$f \left( \bar{u}(h) - \bar{u}_g(h) \right) = \frac{C_d |\vec{V}| \bar{v}}{h}$$

$$\bar{u}(h) = \bar{u}_g(h) + \kappa_s |\vec{V}| \bar{v}$$

$$\kappa_s = \frac{C_d}{hf}$$



**Fig. 5.3** Balance of forces in the well-mixed planetary boundary layer:  $P$  designates the pressure gradient force,  $Co$  the Coriolis force, and  $F_T$  the turbulent drag.

Na camada de mistura a velocidade do vento é menor do que a velocidade geostrófica e **há uma componente do movimento direcionada** para a baixa pressão (para a esquerda do vento geostrofico no HN e a direita no HS)

### 5.3.2 A teoria do Fluxo –Gradiente

**Na neutralidade ou camada limite estavelmente estratificada a velocidade do vento e a direção variam significativamente com a altura. E o Modelo Slab não é mais apropriado.**

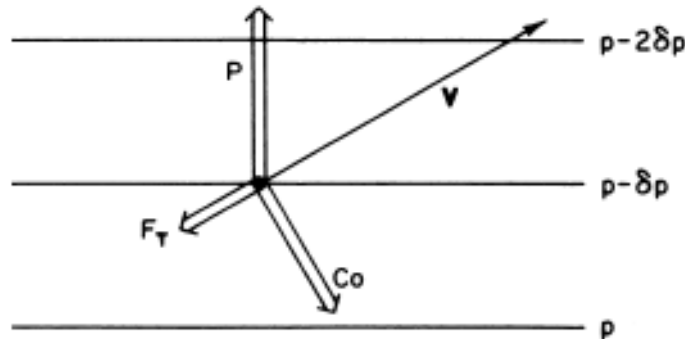


Fig. 5.3 Balance of forces in the well-mixed planetary boundary layer:  $P$  designates the pressure gradient force,  $Co$  the Coriolis force, and  $F_T$  the turbulent drag.

**Alguma quantidades medias são necessárias para determinar a dependência vertical da divergência do fluxo de momentum turbulento em termo de variáveis medias .**

**Assim podemos obter o fechamento das equações da camada limite.**



# Dinâmica I 15/04/2021 a 30/05/2021

## Camada Limite Planetária

---

### 5.3.2 A teoria do Fluxo –Gradiente

**A tradicional aproximação para este problema de fechamento é assumir que os vórtices turbulentos agem de maneira análoga a difusão molecular tal que os fluxos de um determinado campo é proporcional ao gradiente local da media.**

$$\overline{u'w'} = K_m \left( \frac{\partial \bar{u}}{\partial z} \right) \quad \overline{v'w'} = K_m \left( \frac{\partial \bar{v}}{\partial z} \right) \quad \overline{\theta'w'} = K_h \left( \frac{\partial \bar{\theta}}{\partial z} \right)$$

**$K_m$  é o coeficiente de viscosidade dos vórtices turbulentos**  
 **$K_h$  é a difusividade de calor do vórtices turbulentos.**



# Dinâmica I 15/04/2021 a 30/05/2021

## Camada Limite Planetária

---

### **5.3.2 A teoria do Fluxo –Gradiente**

$K_m$  é o coeficiente de viscosidade dos vórtices turbulentos

$K_h$  é a difusividade de calor do vórtices turbulentos.

### **Limitações da Teoria K**

- A diferentemente do coeficiente de viscosidade molecular, a viscosidade dos vórtices depende do escoamento mais do que das propriedades físicas do fluido .
- São determinados empiricamente para cada situação.



# Dinâmica I 15/04/2021 a 30/05/2021

## Camada Limite Planetária

---

### **5.3.2 A teoria do Fluxo –Gradiente**

$K_m$  é o coeficiente de viscosidade dos vórtices turbulentos

$K_h$  é a difusividade de calor do vórtices turbulentos.

### **Aproximação => K constante**

- Adequando para estimar a difusão em pequena escala de traçadores passivos na atmosfera livre.
- Inadequado para a camada limite onde as escalas e a intensidade típicas da turbulência são fortemente dependentes dos vórtices de superfície e da estabilidade Estática
- Em muito casos, os vórtices turbulentos tem dimensões comparáveis a profundidade da PBL e nenhum fluxo de momentum ou calor será proporcional ao gradiente local da media.



# Dinâmica I 15/04/2021 a 30/05/2021

## Camada Limite Planetária

### 5.3.3 Hipótese do Comprimento de Mistura

L. Prandtl:

Hipótese do comprimento de mistura, **assume que a parcela do fluido que é deslocado verticalmente carregará as propriedades médias do seu nível original a uma distância característica  $\xi'$**  e irá misturar com o ambiente através do processo de deslocamento de uma molécula sobre um caminho médio livre antes de colidir e trocar momentum com outra molécula.

Por analogia ao mecanismo molecular, seu deslocamento é utilizado para criar uma flutuação turbulenta em que a magnitude depende do  $\xi'$  e do gradiente da propriedade media.

$$\theta' = -\xi' \frac{\partial \bar{\theta}}{\partial z}$$

$$u' = -\xi' \frac{\partial \bar{u}}{\partial z}$$

$$v' = -\xi' \frac{\partial \bar{v}}{\partial z}$$





# Dinâmica I 15/04/2021 a 30/05/2021

## Camada Limite Planetária

---

### 5.3.3 Hipótese do Comprimento de Mistura

$$\theta' = -\xi' \frac{\partial \bar{\theta}}{\partial z}$$

$$u' = -\xi' \frac{\partial \bar{u}}{\partial z}$$

$$v' = -\xi' \frac{\partial \bar{v}}{\partial z}$$

$\xi' > 0$  parcela desloca-se para cima

$\xi' < 0$  parcela desloca-se para baixo

- Para  $\theta'$  a hipótese é razoável
- Para  $u'$  a hipótese é falha uma vez que a força gradiente de pressão pode mudar substancialmente a velocidade da parcela



# Dinâmica I 15/04/2021 a 30/05/2021

## Camada Limite Planetária

### 5.3.3 Hipótese do Comprimento de Mistura

$$u' = -\xi' \frac{\partial \bar{u}}{\partial z}$$

$$v' = -\xi' \frac{\partial \bar{v}}{\partial z}$$

$$\theta' = -\xi' \frac{\partial \bar{\theta}}{\partial z}$$

Se utilizarmos a hipótese do comprimento de mistura para o fluxo vertical turbulento de momentum zonal (Multiplica por  $w'$  e faz a media )

$$-\overline{u'w'} = \overline{w'\xi'} \frac{\partial \bar{u}}{\partial z}$$

$$-\overline{v'w'} = \overline{w'\xi'} \frac{\partial \bar{v}}{\partial z}$$

$$-\overline{\theta'w'} = \overline{w'\xi'} \frac{\partial \bar{\theta}}{\partial z}$$

Para Estimar  $w'$  em termo do campo médio, assume-se que aa estabilidade vertical da atmosfera é aproximadamente neutra tal que o efeito de flutuabilidade seja pequeno.

Neste caso a escala horizontal dos vórtices devem então ser comparável a escala vertical.



# Dinâmica I 15/04/2021 a 30/05/2021

## Camada Limite Planetária

### 5.3.3 Hipótese do Comprimento de Mistura

$$-\overline{u'w'} = \overline{w'\xi'} \frac{\partial \bar{u}}{\partial z}$$

$$-\overline{v'w'} = \overline{w'\xi'} \frac{\partial \bar{v}}{\partial z}$$

$$-\overline{\theta'w'} = \overline{w'\xi'} \frac{\partial \bar{\theta}}{\partial z}$$

Para Estimar  $w'$  em termo do campo médio, assume-se que a estabilidade vertical da atmosfera é aproximadamente neutra tal que o efeito de flutuabilidade seja pequena.

Neste caso

**a escala horizontal dos vórtices devem então ser comparável a escala vertical.**

$$|w'| \sim |V'|$$

$$w' = \xi' \left| \frac{\partial \bar{V}}{\partial z} \right|$$

O valor absoluto do gradiente da velocidade é necessário se  $\xi' > 0$  então  $w' > 0$  (o deslocamento ascendente da parcela é associando com velocidades do vórtices ascendente )



# Dinâmica I 15/04/2021 a 30/05/2021

## Camada Limite Planetária

### 5.3.3 Hipótese do Comprimento de Mistura

$$w' = \xi' \left| \frac{\partial \bar{V}}{\partial z} \right|$$

O valor absoluto do gradiente da velocidade é necessário se  $\xi' > 0$  então  $w' > 0$  (o deslocamento ascendente da parcela é associado com velocidades do vórtices ascendente )

$$-\overline{u'w'} = \overline{\xi'^2} \left| \frac{\partial \bar{V}}{\partial z} \right| \frac{\partial \bar{u}}{\partial z}$$

$$-\overline{u'w'} = K_m \frac{\partial \bar{u}}{\partial z}$$

$$K_m = \overline{\xi'^2} \left| \frac{\partial \bar{V}}{\partial z} \right|$$

$$K_m = \bar{l}^2 \left| \frac{\partial \bar{V}}{\partial z} \right|$$



# Dinâmica I 15/04/2021 a 30/05/2021

## Camada Limite Planetária

---

### 5.3.3 Hipótese do Comprimento de Mistura

$$K_m = \bar{l}^2 \left| \frac{\partial \vec{V}}{\partial z} \right|$$

$$l = \sqrt{(\bar{\xi}^2)}$$

O comprimento de mistura é raiz quadrada média do deslocamento da parcela, que é a mediada da média dos tamanhos dos vórtices.

O resultado sugere que grandes vórtices e grandes cisalhamento induz a grandes misturas turbulentas



### 5.3.3 Camada de Ekman

A aproximação do fluxo gradiente é usado para representar o termo divergente do fluxo de momentum turbulento

$$\begin{aligned} f(\bar{v} - \bar{v}_g) - \frac{\partial \overline{u'w'}}{\partial z} &= 0 & \overline{u'w'} &= -K_m \frac{\partial \bar{u}}{\partial z} & -f(\bar{u} - \bar{u}_g) - \frac{\partial \overline{v'w'}}{\partial z} &= 0 \\ \overline{v'w'} &= -K_m \frac{\partial \bar{v}}{\partial z} \end{aligned}$$

Considerando  $K_m$  constante, pode-se obter as equações da camada de Ekman Clássica.

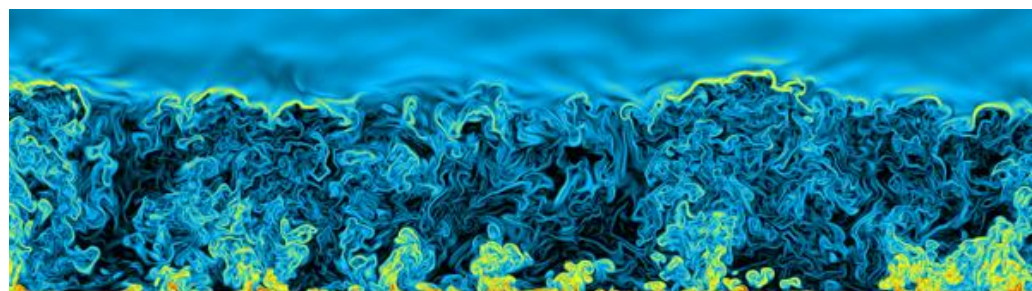
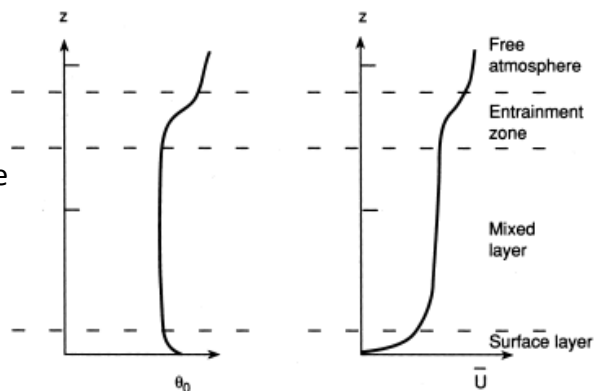
$$K_m \frac{\partial^2 u}{\partial z^2} + f(v - v_g) = 0$$

$$K_m \frac{\partial^2 v}{\partial z^2} - f(u - u_g) = 0$$

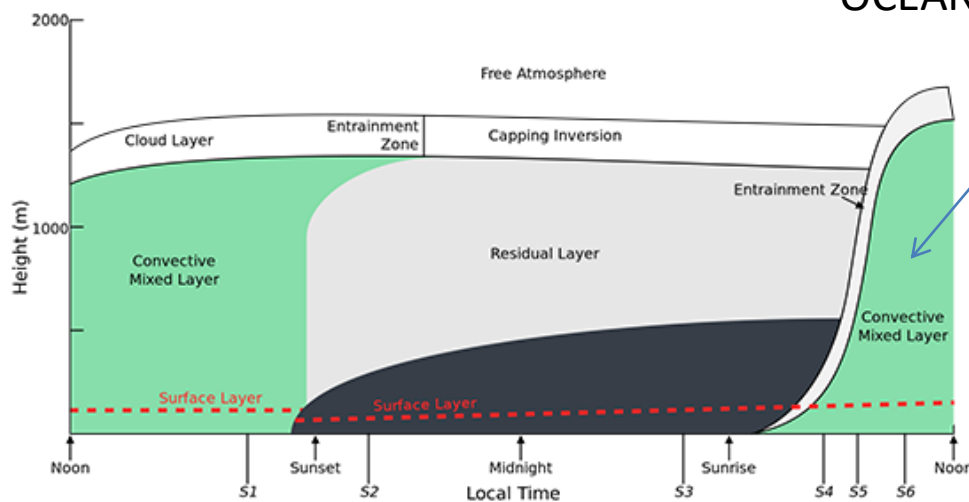
### 5.3.1 Camada Limite Superficial

Atmosfera livre (camada estável)

Camada limite convectiva (camada instável)



**Fig. 5.2** Mean potential temperature,  $\theta_0$ , and mean zonal wind,  $U$ , profiles in a well-mixed boundary layer. Adapted from Stull (1988).



OCEANOS X CONTINENTES



# PBL: Equações governantes do estado médio

Média de Reynolds  $A = \bar{A} + A'$



lei do gas

$$\bar{p} = \bar{\rho} R_d \bar{T}_v$$

Temperatura virtual

$$\bar{T}_v = T(1 + 0.61q_v - q_l)$$

Necessita ser parametrizado !

2<sup>nd</sup> ordem



momentum

$$\frac{\partial \bar{u}_i}{\partial t} + \bar{u}_j \frac{\partial \bar{u}_i}{\partial x_j} = -\delta_{i3}g + f_c \varepsilon_{ij3} \bar{u}_j - \frac{1}{\bar{\rho}} \frac{\partial \bar{P}}{\partial x_i} + \frac{\nu \partial^2 \bar{u}_i}{\partial x_j^2} - \frac{\partial (\bar{u}'_i \bar{u}'_j)}{\partial x_j}$$

Advecção media

gravidade

Coriolis

Gradiente de Pressão

Estresse Viscoso

Transporte Turbulento



Eq. Continuidade

$$\frac{\partial \bar{u}_i}{\partial x_i} = 0$$



Calor

$$\frac{\partial \bar{\theta}}{\partial t} + \bar{u}_j \frac{\partial \bar{\theta}}{\partial x_j} = -\frac{1}{\bar{\rho} c_p} \frac{\partial \bar{F}_j}{\partial x_j} - \frac{\partial \bar{u}'_j \bar{\theta}'}{\partial x_j} - \frac{L_v E}{\bar{\rho} c_p}$$

Advecção media

radiação

Transporte Turbulento

Liberação de Calor Latente



Agua Total

$$\frac{\partial \bar{q}_t}{\partial t} + \bar{u}_j \frac{\partial \bar{q}_t}{\partial x_j} = \frac{S_{q_t}}{\bar{\rho}} - \frac{\partial \bar{u}'_j \bar{q}'_t}{\partial x_j}$$

Advecção media

precipitação

Transporte Turbulento





# PBL: Turbulent kinetic energy equation

☞ TKE: a measure of the intensity of turbulent mixing

$$\bar{e} = \frac{1}{2} (\overline{u'^2} + \overline{v'^2} + \overline{w'^2})$$

$$\frac{\partial \bar{e}}{\partial t} + \bar{u}_j \frac{\partial \bar{e}}{\partial x_j} = \underbrace{\frac{g}{\theta_0} \overline{w' \theta_v'}}_{\text{Produção de flutuabilidade}} - \underbrace{\bar{u}_i' \bar{u}_j' \frac{\partial \bar{u}_i}{\partial x_j}}_{\text{Cisalhamento mecânico}} - \underbrace{\frac{\partial \bar{u}_j' e}{\partial x_j}}_{\text{Transporte turbulento}} - \underbrace{\frac{1}{\rho} \frac{\partial \bar{u}_i' p'}{\partial x_i}}_{\text{Transporte pressão}} - \underbrace{\varepsilon}_{\text{dissipação}}$$

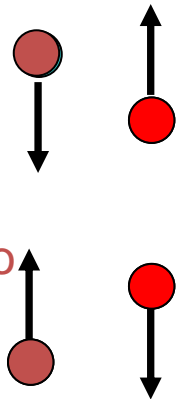
$$\theta_v = \theta (1 + 0.61 q_v - q_l)$$

Temperatura potencial virtual

☞ Exemplo :

–  $\theta_v' < 0$  ,  $w' < 0$  ou  $\theta_v' > 0$  ,  $w' > 0$   $\longrightarrow w' \theta_v' > 0$  **fonte**

–  $\theta_v' < 0$  ,  $w' > 0$  ou  $\theta_v' > 0$  ,  $w' < 0$   $\longrightarrow w' \theta_v' < 0$  **sumidouro**





# Como parameterizar os momentum de 2 ordem $w' \varphi'$

$$\frac{\partial \bar{u}_i}{\partial t} + \bar{u}_j \frac{\partial \bar{u}_i}{\partial x_j} = -\delta_{i3} g + f_c \varepsilon_{ij3} \bar{u}_j - \frac{1}{\rho} \frac{\partial \bar{P}}{\partial x_i} + \frac{\nu \partial^2 \bar{u}_i}{\partial x_j^2} - \frac{\partial(\overline{u'_i u'_j})}{\partial x_j}$$

$$\frac{\partial \bar{u}_i}{\partial t} = \frac{\partial \overline{u'_i u'_i}}{\partial x_i}$$

$$\overline{w' \varphi'} = \mathbf{K}(\mathbf{z}) \frac{d\varphi}{dz}$$

$$\frac{\partial \bar{u}_i}{\partial t} = \frac{\partial}{\partial z} \mathbf{K}^d(\mathbf{z}) \frac{\partial \bar{U}}{\partial x_3}$$

**Teoria do transporte gradiente ou teoria K**

O UWMT atualiza as variáveis difundida  $u$  usando um esquema de Euler implícito backward.

$$\frac{u(t + \Delta t) - u^*}{\Delta t} = \frac{\partial}{\partial z} \mathbf{K}^d(\mathbf{z}) \frac{\partial}{\partial z} u(t + \Delta t)$$



# Como parameterizar os momentum de 2 ordem $w' \varphi'$

$$F = \rho K(z) \frac{d\varphi}{dz} \quad (F = \overline{w' \varphi'})$$

Calcular  $K(z_{1.5})$ ???

Formulação em diferenças finitas

$$F_{1.5} = \rho K(z_{1.5}) \frac{\varphi_2 - \varphi_1}{z_2 - z_1}$$

Na camada se superficie integrada:

$$\varphi_1 - \varphi_s = \int_{z_{0\varphi}}^{z_1} \frac{F_{0\varphi}}{\rho K(z)} dz$$

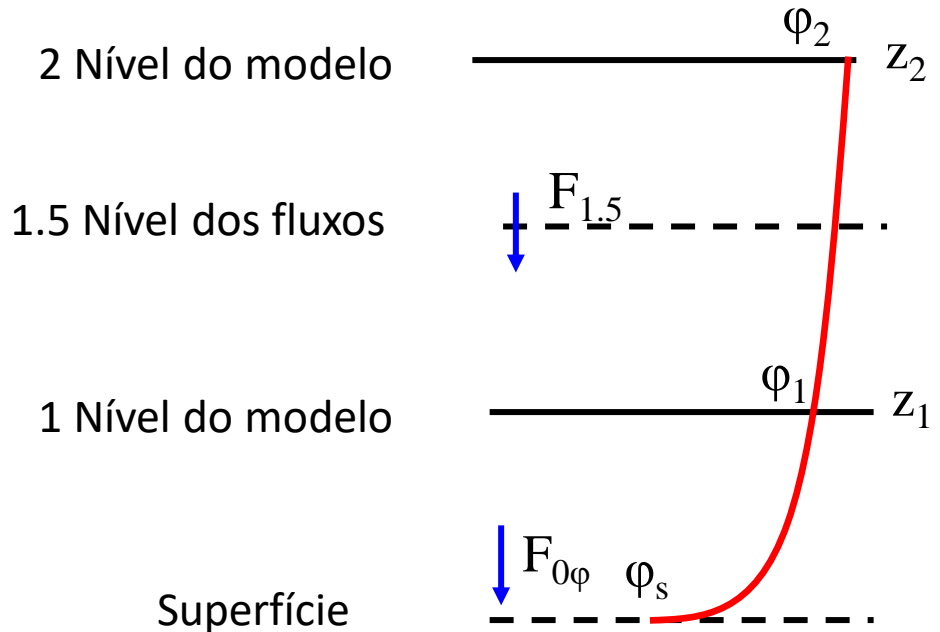
Camada  
de fluxo  
constante:

$$\varphi_1 - \varphi_s \approx \frac{F_{0\varphi}}{\rho} \int_{z_{0\varphi}}^{z_1} \frac{1}{K(z)} dz$$

Escoamento  
neutro:  $K(z) = \kappa z u_*$

$$\varphi_1 - \varphi_s \approx \frac{F_{0\varphi}}{\rho \kappa u_*} \int_{z_{0\varphi}}^{z_1} \frac{dz}{z} \Rightarrow \varphi_1 - \varphi_s = \frac{F_{0\varphi}}{\rho \kappa u_*} \ln \left( \frac{z_1}{z_{0\varphi}} \right)$$

$u, v, T, q$



$\kappa$  : Von Karman constant (0.4)  
 $u_*$  : Friction velocity  
 $\rho$  : Density



# Como parameterizar os momentum de 2 ordem $w' \varphi'$

$$\frac{\partial \bar{u}_i}{\partial t} = \frac{\partial \overline{u_i' u_i'}}{\partial x_i}$$

Esta equação informa que quando o ar é misturado na caixa i da caixa j o ar carrega com ele uma quantidade ( $c_{i,j}$ ) de traçadores com concentração  $\bar{\xi}_j(t)$

$$\bar{\xi}_i(t + \Delta t) = \sum_{j=1}^N c_{i,j}(t, \Delta t) \bar{\xi}_j(t)$$

O coeficiente ( $c_{i,j}$ ) representa a fração da ar na caixa i que permanece dentro da caixa i

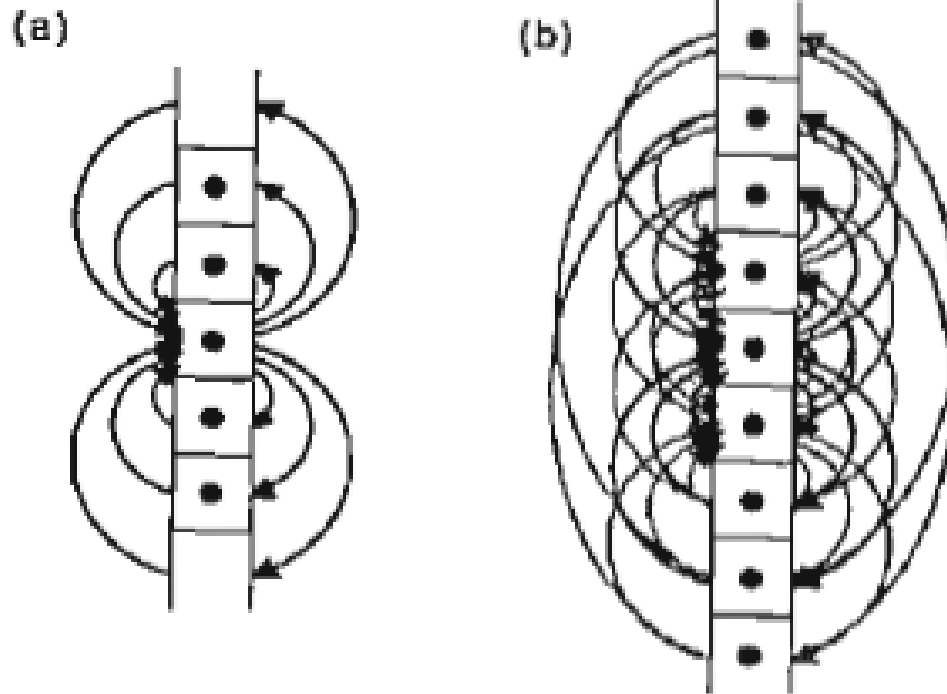
Se  $c_{i,j}$  é a fração de ar entrando na caixa i da caixa j então por definição a conservação de massa de ar requer que a soma sobre j de todas as frações de mistura seja unitária

$$\sum_{j=1}^N c_{i,j}(t, \Delta t) = 1$$

# Como parameterizar os momentum de 2 ordem $w' \varphi'$

Esta equação informa que quando o ar é misturado na caixa  $i$  da caixa  $j$  o ar carrega com ele uma quantidade  $(c_{i,j})$  de traçadores com concentração  $\bar{\xi}_j(t)$

**Fig. 6.8**  
(a) Schematic idealization of the eddies that mix air to and from the center grid box, in a 1-D column of air. (b) Superposition of eddies acting on 3 of the grid boxes. After Stull (1984).





# Como parameterizar os momentum de 2 ordem $w' \varphi'$

Sem Mistura

Grid Box    Matrix Transiente

j =            1    2    3    4

$$i = \begin{matrix} 1 \\ 2 \\ 3 \\ 4 \end{matrix} \quad \begin{bmatrix} 1 & 0 & 0 & 0 \\ 0 & 1 & 0 & 0 \\ 0 & 0 & 1 & 0 \\ 0 & 0 & 0 & 1 \end{bmatrix} * \begin{bmatrix} \bar{\xi}_{j=1} \\ \bar{\xi}_{j=2} \\ \bar{\xi}_{j=3} \\ \bar{\xi}_{j=4} \end{bmatrix}$$



$$\bar{\xi}_i(t + \Delta t) = \sum_{j=1}^N c_{i,j}(t, \Delta t) \bar{\xi}_j(t)$$



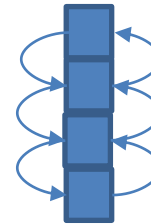
# Como parameterizar os momentum de 2 ordem $w' \varphi'$

Mistura de pequenos vórtices (Teoria K)

Matrix Transiente

Grid Box

$$\begin{array}{c} j = \\ i = 1 \\ 2 \\ 3 \\ 4 \end{array} \begin{array}{ccccc} & 1 & 2 & 3 & 4 \\ \begin{bmatrix} 2/3 & 1/3 & 0 & 0 \\ 1/3 & 1/3 & 1/3 & 0 \\ 0 & 1/3 & 1/3 & 1/3 \\ 0 & 0 & 1/3 & 2/3 \end{bmatrix} & * & \begin{bmatrix} \bar{\xi}_{j=1} \\ \bar{\xi}_{j=2} \\ \bar{\xi}_{j=3} \\ \bar{\xi}_{j=4} \end{bmatrix}
 \end{array}$$



$$\bar{\xi}_i(t + \Delta t) = \sum_{j=1}^N c_{i,j}(t, \Delta t) \bar{\xi}_j(t)$$



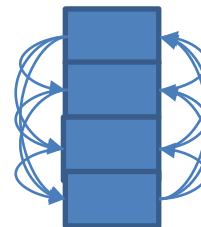
# Como parameterizar os momentum de 2 ordem $w' \varphi'$

Mistura completa

Matrix Transiente

Grid Box

$$\begin{array}{c} j = \\ i = 1 \\ 2 \\ 3 \\ 4 \end{array} \begin{array}{ccccc} & 1 & 2 & 3 & 4 \\ \begin{bmatrix} 2/3 & 1/3 & 0 & 0 \\ 1/3 & 1/3 & 1/3 & 0 \\ 0 & 1/3 & 1/3 & 1/3 \\ 0 & 0 & 1/3 & 2/3 \end{bmatrix} & * & \begin{bmatrix} \bar{\xi}_{j=1} \\ \bar{\xi}_{j=2} \\ \bar{\xi}_{j=3} \\ \bar{\xi}_{j=4} \end{bmatrix}
 \end{array}$$



$$\bar{\xi}_i(t + \Delta t) = \sum_{j=1}^N c_{i,j}(t, \Delta t) \bar{\xi}_j(t)$$





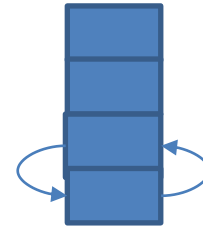
# Como parameterizar os momentum de 2 ordem $w' \varphi'$

Patchy Turbulence

Matrix Transiente

Grid Box

$$\begin{array}{c} j = \\ i = 1 \\ 2 \\ 3 \\ 4 \end{array} \begin{array}{ccccc} & 1 & 2 & 3 & 4 \\ \begin{bmatrix} 1/2 & 1/2 & 0 & 0 \\ 1/2 & 1/2 & 0 & 0 \\ 0 & 0 & 1 & 0 \\ 1 & 0 & 0 & 1 \end{bmatrix} & * & \begin{bmatrix} \bar{\xi}_{j=1} \\ \bar{\xi}_{j=2} \\ \bar{\xi}_{j=3} \\ \bar{\xi}_{j=4} \end{bmatrix}
 \end{array}$$



Turbulência irregular

$$\bar{\xi}_i(t + \Delta t) = \sum_{j=1}^N c_{i,j}(t, \Delta t) \bar{\xi}_j(t)$$



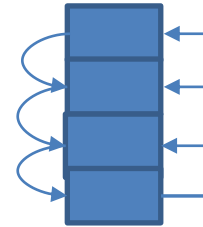
# Como parameterizar os momentum de 2 ordem $w' \varphi'$

Detraining Updraft Core

Matrix Transiente

Grid Box

$$\begin{array}{c} j = \\ i = 1 \\ 2 \\ 3 \\ 4 \end{array} \begin{array}{ccccc} 1 & 2 & 3 & 4 \\ \left[ \begin{array}{ccccc} 0 & 1 & 0 & 0 \\ 1/3 & 0 & 2/3 & 0 \\ 1/3 & 0 & 1/3 & 1/3 \\ 1/3 & 0 & 0 & 2/3 \end{array} \right] \end{array} * \begin{array}{c} \bar{\xi}_{j=1} \\ \bar{\xi}_{j=2} \\ \bar{\xi}_{j=3} \\ \bar{\xi}_{j=4} \end{array}$$



$$\bar{\xi}_i(t + \Delta t) = \sum_{j=1}^N c_{i,j}(t, \Delta t) \bar{\xi}_j(t)$$



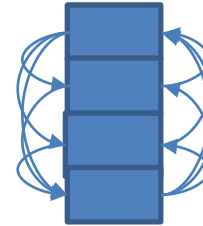
# Como parameterizar os momentum de 2 ordem $w' \varphi'$

Top-down, Botton up

Matrix Transiente

Grid Box

$$\begin{array}{c} j = \\ i = 1 \\ 2 \\ 3 \\ 4 \end{array} \begin{array}{ccccc} & 1 & 2 & 3 & 4 \\ \begin{bmatrix} 1/4 & 1/4 & 1/4 & 1/4 \\ 1/4 & 1/2 & 0 & 1/4 \\ 1/4 & 0 & 1/2 & 1/4 \\ 1/4 & 1/4 & 1/4 & 1/4 \end{bmatrix} & * & \begin{bmatrix} \bar{\xi}_{j=1} \\ \bar{\xi}_{j=2} \\ \bar{\xi}_{j=3} \\ \bar{\xi}_{j=4} \end{bmatrix}
 \end{array}$$



$$\bar{\xi}_i(t + \Delta t) = \sum_{j=1}^N c_{i,j}(t, \Delta t) \bar{\xi}_j(t)$$



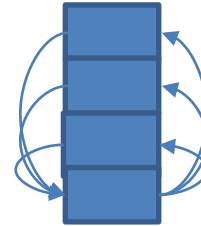
# Como parameterizar os momentum de 2 ordem $w' \varphi'$

Eddies Triggered by One Layer

Matrix Transiente

Grid Box

$$\begin{array}{c} j = \\ i = 1 \\ 2 \\ 3 \\ 4 \end{array} \begin{array}{ccccc} & 1 & 2 & 3 & 4 \\ \begin{bmatrix} 1/4 & 1/4 & 1/4 & 1/4 \\ 1/4 & 3/4 & 0 & 0 \\ 1/4 & 0 & 3/4 & 0 \\ 1/4 & 0 & 0 & 3/4 \end{bmatrix} & * & \begin{bmatrix} \bar{\xi}_{j=1} \\ \bar{\xi}_{j=2} \\ \bar{\xi}_{j=3} \\ \bar{\xi}_{j=4} \end{bmatrix}
 \end{array}$$



Vórtices acionados por uma camada

$$\bar{\xi}_i(t + \Delta t) = \sum_{j=1}^N c_{i,j}(t, \Delta t) \bar{\xi}_j(t)$$



# Como parameterizar os momentum de 2 ordem $w' \varphi'$

## Determinação Do fluxo

Os Fluxos cinemático turbulentos são facilmente determinado, porque a matrix transiente indica diretamente o transporte entre as células de grade.

Assim, o fluxo cinemático  $\overline{w' \xi'}(k)$  através do nível k é dado pela equação:

$$\overline{w' \xi'}(k) = \overline{w' \xi'}(k - 1) + \frac{\Delta z}{\Delta t} \sum_{j=1}^N c_{k,j} (\bar{\xi}_k - \bar{\xi}_j)$$

Onde  $\Delta z$  é o espaçamento do ponto de grade, e  $\Delta t$  é o intervalo de passo de tempo para a matriz  $c_{i,j}$ . O nível k é definido como a borda entre a célula de grade k e k+1. Embora,  $\bar{\xi}_i$  seja conhecida no centro da célula de grade,  $\overline{w' \xi'}(k)$  é conhecida na borda da célula de grade. Assim, fisicamente faz sentido, porque o fluxo representa o transporte entre as células de grade



# Como parameterizar os momentum de 2 ordem $w' \varphi'$

## Determinação Do fluxo

O Fluxo turbulento através de um contorno solido é zero por definição, embora o fluxo não turbulento pode ser diferente de zero. Assim,

$$\overline{w' \xi'}(k = 0) \equiv 0.$$

Com esta condição de contorno, a equação do fluxo pode ser escrita:

$$\overline{w' \xi'}(1) = \overline{w' \xi'}(0) + \frac{\Delta z}{\Delta t} \sum_{j=1}^N c_{k,j} (\bar{\xi}_1 - \bar{\xi}_j)$$

$$\overline{w' \xi'}(1) = \frac{\Delta z}{\Delta t} \sum_{j=1}^N c_{k,j} (\bar{\xi}_1 - \bar{\xi}_j)$$



# Como parameterizar os momentum de 2 ordem $w' \varphi'$

## Exemplo

Supoem um camada de mistura rasa de 300m de profundidade dentro de uma coluna de ar de 500m. O perfil inicial de temperatura potencial e vento são indicados abaixo. Assume-se que a coluna é dividida em 5 caixa de 100m de expessura

Caixa (No centro da caixa)	z (m)	$\bar{\xi}_j = \bar{\theta}(^{\circ}C)$	$\bar{\xi}_j = \bar{U}(m/s)$
1	50	15	5
2	150	15	5
3	250	15	5
4	350	16	7
5	450	18	6



# Como parameterizar os momentum de 2 ordem $w' \varphi'$

## Exemplo

Assume-se que exista um fluxo molecular (não turbulento) de calor,  $Q_H = 0.2 \text{ Km/s}$  e de momentum  $F = -0.15 \text{ m}^2/\text{s}^2$  através da superfície e a interface do caixa adjacente a superfície. Use um passo de tempo de 10 min. Pode-se assumir no caso 1 que há uma superfície de fluxo molecular entre a superfície e a interface do caixa adjacente a superfície e no caso 2 que não há uma superfície de fluxo molecular entre a superfície e a interface do caixa adjacente a superfície. Desprezando, outra forçantes tais como a radiação e a força de coriolis

$$\frac{\Delta\theta}{\Delta t} = \frac{Q_h}{\Delta z} \Rightarrow \Delta\theta = \frac{Q_h}{\Delta z} \Delta t = \frac{0.2}{50} * 10 * (60) = 2.4$$

$$\frac{\Delta U}{\Delta t} = \frac{F}{\Delta z} \Rightarrow \Delta U = \frac{F}{\Delta z} \Delta t = \frac{-0.15}{50} * 10 * (60) = -1.8$$

Caixa (No centro da caixa)	Z (m)	$\bar{\xi}_j = \bar{\theta}(^{\circ}\text{C})$	$\bar{\xi}_j = \bar{U}(\text{m/s})$
1	50	16,2	4.1
2	150	15	5
3	250	15	5
4	350	16	7
5	450	18	6





# Como parameterizar os momentum de 2 ordem $w' \varphi'$

## Exemplo

Note que somente a caixa próxima a superfície muda o valor, isso acontece porque ainda não aplicamos a matriz de turbulência transiente para a mistura da mudança de calor e momentum na camada de mistura.

$$c(t, \Delta t = 10min) = \begin{matrix} & \begin{matrix} (j = 1 & 2 & 3 & 4 & 5) \end{matrix} \\ \begin{matrix} (i = 1) \\ (2) \\ (3) \\ (4) \\ (5) \end{matrix} & \begin{bmatrix} 0,590 & 0,236 & 0,118 & 0,056 & 0,000 \\ 0,236 & 0,590 & 0,118 & 0,056 & 0,000 \\ 0,118 & 0,118 & 0,708 & 0,056 & 0,000 \\ 0,056 & 0,056 & 0,056 & 0,832 & 0,000 \\ 0,000 & 0,000 & 0,000 & 0,00 & 1,000 \end{bmatrix} \end{matrix}$$

$$\bar{\xi}_k(t + \Delta t) = \sum_{j=1}^N c_{i,j}(t, \Delta t) \bar{\xi}_j(t)$$

K=2

$$\bar{\theta}_2 = 0,236 * (16,2) + 0,590 * (15) + (0,118) * (15) + 0,056 * (16) + 0,000 * (18) = 15,34 \text{ } ^\circ\text{C}$$

$$\bar{U}_2 = 0,236 * (4,1) + 0,590 * (5) + (0,118) * (5) + 0,056 * (7) + 0,000 * (6) = 4,9 \text{ m/s}$$

a) Calcule e plot o perfil final C após a mistura turbulenta



# Como parameterizar os momentum de 2 ordem $w' \varphi'$

---

Exemplo

a) Calcule e plot o perfil final C após a mistura turbulenta após 10min



# Como parameterizar os momentum de 2 ordem $w' \varphi'$

Exemplo

$$\bar{\xi}_i(t + \Delta t) = \sum_{j=1}^N c_{i,j}(t, \Delta t) \bar{\xi}_j(t)$$

a) Calcule e plot o perfil (C) final da temperatura potencial após a mistura turbulenta após 10min

$$\begin{bmatrix} \\ \\ \\ \\ \end{bmatrix} = \begin{bmatrix} 0,590 & 0,236 & 0,118 & 0,056 & 0,000 \\ 0,236 & 0,590 & 0,118 & 0,056 & 0,000 \\ 0,118 & 0,118 & 0,708 & 0,056 & 0,000 \\ 0,056 & 0,056 & 0,056 & 0,832 & 0,000 \\ 0,000 & 0,000 & 0,000 & 0,00 & 1,000 \end{bmatrix} * \begin{bmatrix} 16,2 \\ 15,0 \\ 15,0 \\ 16,0 \\ 18,0 \end{bmatrix}$$

b) Calcule e plot o perfil (C) final da vento após a mistura turbulenta após 10min

$$\begin{bmatrix} \\ \\ \\ \\ \end{bmatrix} = \begin{bmatrix} 0,590 & 0,236 & 0,118 & 0,056 & 0,000 \\ 0,236 & 0,590 & 0,118 & 0,056 & 0,000 \\ 0,118 & 0,118 & 0,708 & 0,056 & 0,000 \\ 0,056 & 0,056 & 0,056 & 0,832 & 0,000 \\ 0,000 & 0,000 & 0,000 & 0,00 & 1,000 \end{bmatrix} * \begin{bmatrix} 4,1 \\ 5,0 \\ 5,0 \\ 7,0 \\ 6,0 \end{bmatrix}$$



# Como parameterizar os momentum de 2 ordem $w' \varphi'$

---

Exemplo

a) Calcule e plote os fluxos de calor e momentum após 10 min



# Como parameterizar os momentum de 2 ordem $w' \varphi'$

Exemplo

$$\overline{w' \xi'}(k) = \overline{w' \xi'}(k-1) + \frac{\Delta z}{\Delta t} \sum_{j=1}^N c_{k,j} (\bar{\xi}_k - \bar{\xi}_j)$$

Para  $k=1$

$$\overline{w' \xi'}(1) = \overline{w' \xi'}(0) + \frac{\Delta z}{\Delta t} \sum_{j=1}^N c_{1,j} (\bar{\xi}_1 - \bar{\xi}_j)$$

caso1 que há uma superfície de fluxo molecular entre a superfície e a interface do caixa adjacente a superfície

$$\overline{w' \xi'}(0) = \overline{w' \theta'}(0) = Q_h$$

$$\overline{w' \xi'}(0) = \overline{w' u'}(0) = F$$

caso 2 que não há uma superfície de fluxo molecular entre a superfície e a interface do caixa adjacente a superfície

$$\overline{w' \xi'}(0) = \overline{w' \theta'}(0) = 0$$

$$\overline{w' \xi'}(0) = \overline{w' u'}(0) = 0$$



# Como parameterizar os momentum de 2 ordem $w'\varphi'$

## Exemplo

Para  $k=1$

$$\overline{w'\xi'}(1) = \overline{w'\xi'}(0) + \frac{\Delta z}{\Delta t} \sum_{j=1}^N c_{1,j} (\bar{\xi}_1 - \bar{\xi}_j)$$

caso 2 que não há uma superfície de fluxo molecular entre a superfície e a interface do caixa adjacente a superfície

$$\overline{w'\xi'}(0) = \overline{w'\theta'}(0) = 0$$

$$\overline{w'\xi'}(0) = \overline{w'u'}(0) = 0$$

$$\overline{w'\theta'}(1) = \overline{w'\theta'}(0) + \frac{\Delta z}{\Delta t} \sum_{j=1}^N c_{1,j} (\bar{\theta}_1 - \bar{\theta}_j)$$

Fluxo de calor

$$\overline{w'\theta'}(1) = 0 + \left(\frac{100}{600s}\right) * [0,590 * (16,2 - 16,2) + 0,236 * (16,2 - 15,0) + 0,118 * (16,2 - 15,0) + 0,056 * (16,2 - 16,0) + 0,000 * (16,2 - 18,0)]$$

Fluxo de momentum

$$\overline{w'\theta'}(1) = 0,0726 \text{ Kms}^{-1}$$

$$\overline{w'u'}(1) = 0 + \left(\frac{100}{600s}\right) * [0,590 * (4,1 - 4,1) + 0,236 * (4,1 - 5,0) + 0,118 * (4,1 - 5,0) + 0,056 * (4,1 - 7,0) + 0,000 * (4,1 - 6,0)]$$

$$\overline{w'u'}(1) = -0.080 \text{ m}^2\text{s}^{-2}$$



# Como parameterizar os momentum de 2 ordem $w' \varphi'$

Exemplo

$$\overline{w' \xi'}(1) = \overline{w' \xi'}(0) + \frac{\Delta z}{\Delta t} \sum_{j=1}^N c_{k,j} (\bar{\xi}_1 - \bar{\xi}_j)$$

a) Calcule e plote os fluxos de calor e momentum após 10 min

$$\begin{bmatrix} \bar{\xi}_k \\ \bar{\xi}_k \\ \bar{\xi}_k \\ \bar{\xi}_k \\ \bar{\xi}_k \end{bmatrix} = \begin{matrix} (j = 1 & 2 & 3 & 4 & 5) \\ \begin{bmatrix} 0,590 & 0,236 & 0,118 & 0,056 & 0,000 \\ 0,236 & 0,590 & 0,118 & 0,056 & 0,000 \\ 0,118 & 0,118 & 0,708 & 0,056 & 0,000 \\ 0,056 & 0,056 & 0,056 & 0,832 & 0,000 \\ 0,000 & 0,000 & 0,000 & 0,00 & 1,000 \end{bmatrix} \end{matrix} \begin{matrix} (i = 1) \\ (2) \\ (3) \\ (4) \\ (5) \end{matrix} * \begin{bmatrix} \bar{\xi}_i - \bar{\xi}_j \\ \bar{\xi}_i - \bar{\xi}_j \\ \bar{\xi}_i - \bar{\xi}_j \\ \bar{\xi}_i - \bar{\xi}_j \\ \bar{\xi}_i - \bar{\xi}_j \end{bmatrix}$$



# **Dinâmica I 15/04/2021 a 30/05/2021**

## **Camada Limite Planetária**

---

### **Exercício 4**

**4) Qual o papel o coeficiente de difusão turbulenta ( $K_m$ ) nas equações governantes da dinâmica da camada limite?**